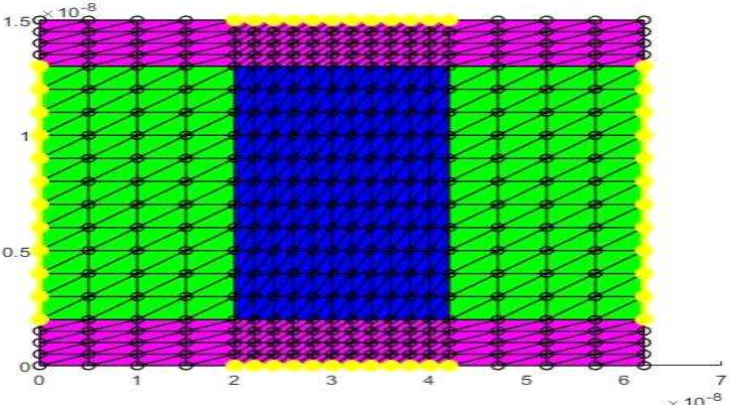


# HW13

20221060 한성민

## Design

structure : Double gate MOSFET	region & contact
	<p>상단 magenta : gate oxide1            하단 magenta : gate oxide2            좌측 green : source region            우측 green : drain region            중앙 blue : silicon region            상단 yellow line : gate contact1            하단 yellow line : gate contact2            좌측 yellow line : source contact            우측 yellow line : drain contact</p>
gate oxide thickness : 2nm silicon thickness : 11nm source / drain length : 20nm channel length : 22nm total x length : 62nm total y length : 15nm	<p>N-type doping : 5E26(/m^3)            P-type doping : 2E21(/m^3)            gate workfunction : 4.3eV</p>
	<p>total vertex : 400            jacobian matrix : 920 X 920</p>

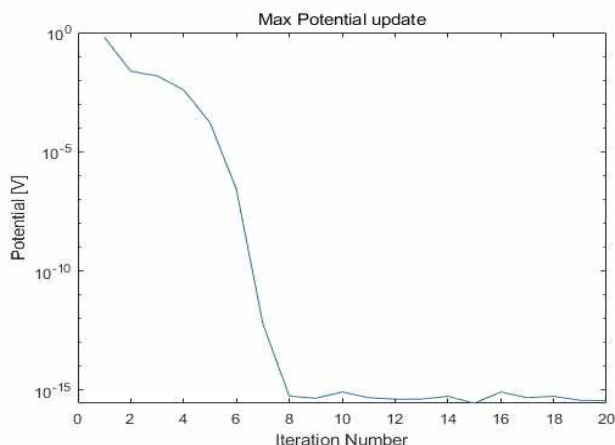
이전의 vertex의 수보다 3배 이상 증가시켜 mesh를 구성했다. 하지만 source와 drain 영역의 x mesh의 수가 부족하여 discrete 한 변화를 가지는 result를 얻었다. 이후 x mesh를 더 늘려 total mesh를 증가시킨다면 continuous하고 정확한 결과를 얻을 수 있을 것이라 생각한다.

### - Non-linear Poisson (@equilibrium)

: Non-linear Poisson (@equilibrium)에서는 n과 p의 residue를 구성할 때 다음과 같은 식을 사용한다.

$$res(n) = n - n_{int}e^{\phi/V_t}, \quad res(p) = p - n_{int}e^{-\phi/V_t}$$

위 식을 사용하여 @equilibrium에서 non-linear Poisson equation을 풀면



10번 이내에 수렴하는 것을 확인할 수 있다.

위 식을 통해 얻은 initial value를 이용하여 Drift-Diffusion을 풀기 위한 initial value로 사용한다. 그렇다면 DD의 iteration은 non-linear Poisson equation을 풀었을 때보다 더 빨리 수렴한다.

## - Drift - Diffusion

지난 HW12에서 scharfetter-gummel scheme의 derivation을 통해 얻은  $J_n$ 과  $J_p$ 의 식을 정리하면 다음과 같다.

$$J_n = q\mu_n V_T \frac{edge}{len} (n_j B(\frac{\nabla \phi}{V_T}) - n_i B(\frac{-\nabla \phi}{V_T}))$$

$$J_p = -q\mu_p V_T \frac{edge}{len} (p_j B(\frac{-\nabla \phi}{V_T}) - n_i B(\frac{\nabla \phi}{V_T}))$$

위  $J_n$ 과  $J_p$ 를 residue로 설정하여 Jacobian matrix를 설정했다. potential 부분의 jacobian matrix 부분은 유지하되 기존의 n과 p에 대한 식  $res(n) = n - n_{int}e^{\phi/V_t}$ ,  $res(p) = p - n_{int}e^{-\phi/V_t}$ 를 current density equation

$$J_n = q\mu_n V_T \frac{edge}{len} (n_j B(\frac{\nabla \phi}{V_T}) - n_i B(\frac{-\nabla \phi}{V_T}))$$

$$J_p = -q\mu_p V_T \frac{edge}{len} (p_j B(\frac{-\nabla \phi}{V_T}) - n_i B(\frac{\nabla \phi}{V_T}))$$

을 사용하여 대체하면 된다.

$n_j$ ,  $n_i$ ,  $\phi_j$ ,  $\phi_i$ 에 대해 미분을 하여 jacobian matrix를 구성했으며 Bernoulli function과 Deri\_Bernoulli function의 경우 2020FW의 강의노트를 참고하여 code를 작성했다. Bernoulli function의 정확도를 위해 potential 차이에 따라 테일러 급수를 도입하여 code를 작성했다.

Bernoulli	Deri_Bernoulli
<pre>function outb = bern(a, b)  q = 1.602e-19; Kb = 1.38e-23; T = 300; Vt = Kb*T/q; x = (b-a)/Vt;  if abs(x) &lt; 0.02502     outb = 1 - x/2 + x^2/12*(1.0-x^2/60*(1.0-x^2/42)); elseif abs(x) &lt; 0.15     outb = 1 - x/2 + x^2/12*(1.0-x^2/60*(1.0-x^2/42*(1-x^2/40*(1.0.025252525252525252525*x^2))))); else     outb = x / (exp(x)-1); end</pre>	<pre>function outdb = dbern(a, b)  q = 1.602e-19; Kb = 1.38e-23; T = 300; Vt = Kb*T/q; x = (b-a)/Vt;  if abs(x) &lt; 0.02502     outdb = -0.5 + x/6*(1-x^2/30*(1-x^2/28)); elseif abs(x) &lt; 0.15     outdb = -0.5 + x/6*(1-x^2/30*(1-x^2/28*(1-x^2/30*(1-x^2/30*(1-0.03156565656565656565657*x^2))))); else     outdb = (exp(x)-1-x*exp(x)) / (exp(x)-1)^2; end</pre>

## - bias ramping

potential의 maxupdate 값이 tol(1e-10)[V]보다 작을 경우 iteration을 종료하도록 구성했다. drain voltage를 ramping 하는 경우 drain contact 부분의 residue에 -Vd를 추가해주고, gate voltage를 ramping하는 경우 gate contact 부분의 residue에 -Vg를 추가해주었다.

## - Current calculation

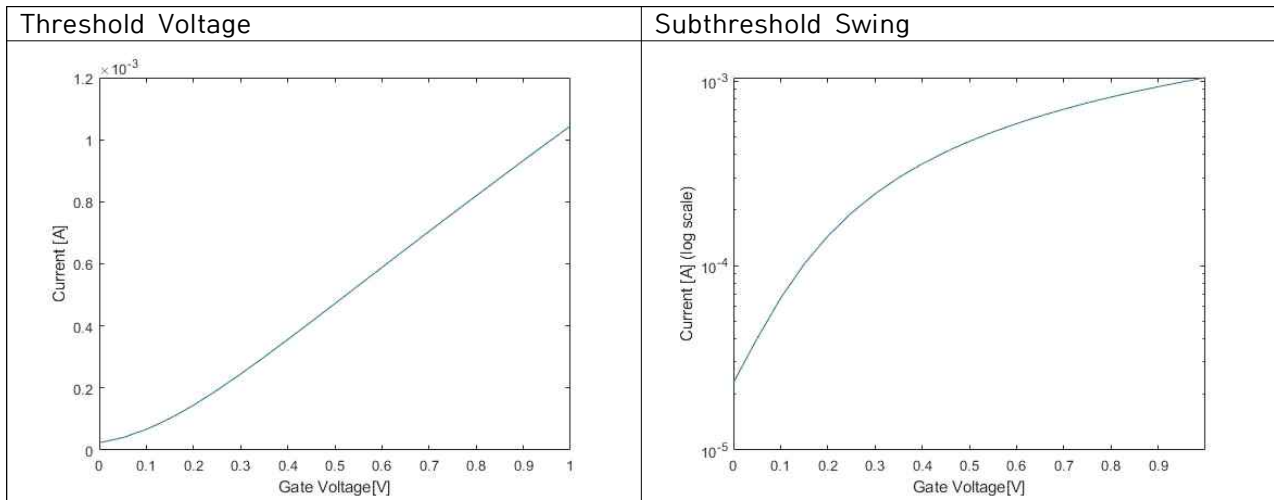
$$I_n = q\mu_n V_T \frac{edge}{len} (n_j B(\frac{\phi_j - \phi_i}{V_T}) - n_i B(\frac{-(\phi_j - \phi_i)}{V_T})) \cdot width$$

$$I_p = -q\mu_p V_T \frac{edge}{len} (p_j B(\frac{-(\phi_j - \phi_i)}{V_T}) - n_i B(\frac{\phi_j - \phi_i}{V_T})) \cdot width$$

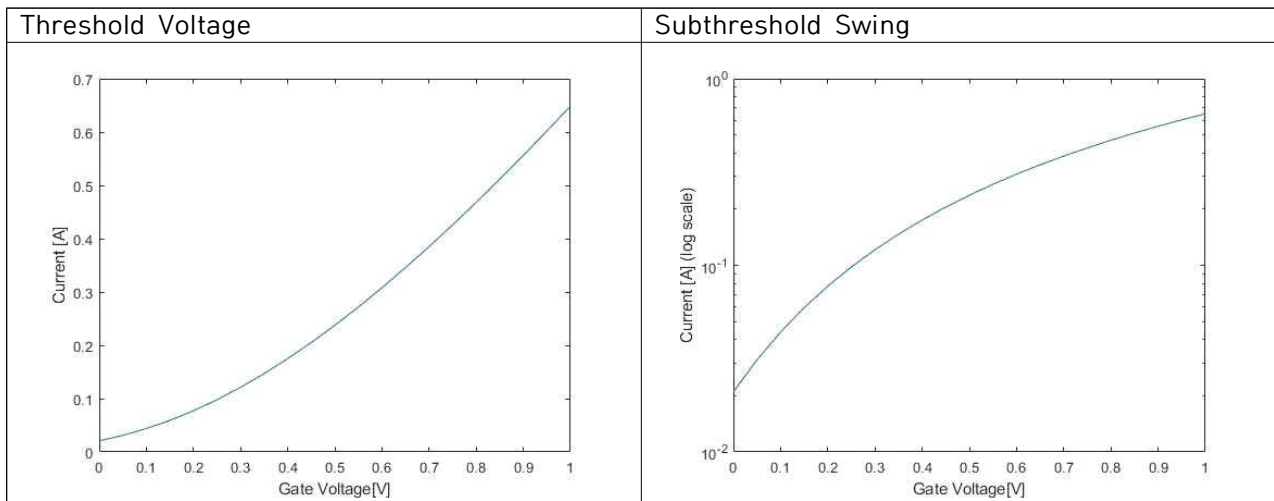
hole current의 경우 hole 농도가 매우 낮다고 판단하여 current 계산에는 이용하지 않았다. width = 1e-6m로 설정하고, current density에 곱해주어 current를 계산했다.

- Result

(1)  $V_d = 1\text{mV}$ , gate voltage ramping to 1V

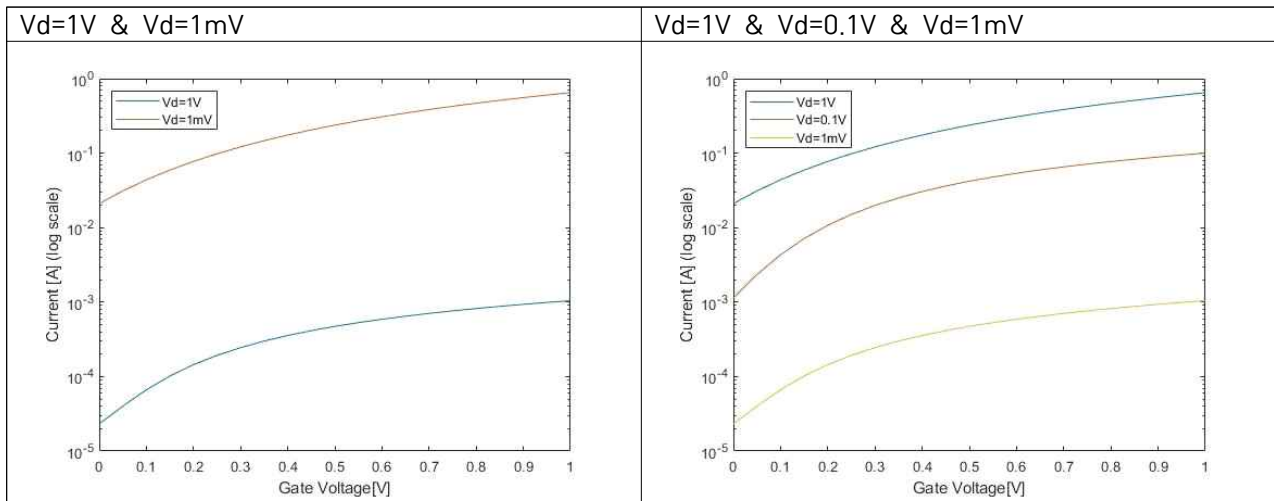


(2)  $V_d = 1\text{V}$ , gate voltage ramping to 1V



0.1V-0.2V 사이에서 전류의 곡률이 달라지는 것으로 보아  $V_{TH}$ 는 0.1V-0.2V 사이에 존재한다고 유추할 수 있다. Subthreshold Swing의 경우 소자의 channel 길이가 짧기에 60mV/dec 와는 차이가 존재한다고 생각한다.

### (3) DIBL check

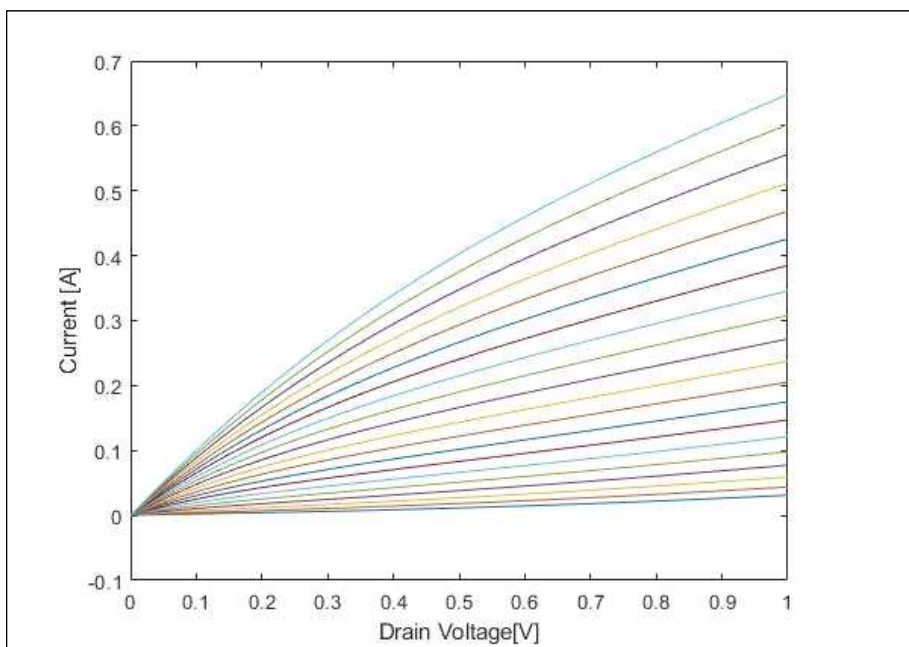


$V_d = 1V$ 와  $V_d = 1mV$ 와는 DIBL을 비교하는 것이 어렵다고 판단하여  $V_d = 0.1V$ 를 추가해주어 비교했다.  $V_d = 1V$ 에서  $V_{TH} = 0.2V$ 로 가정할 경우,  $I_d = I_{on} \approx 0.044A$ 이다. 이 전류값을  $I_{on}$ 이라고 가정하면  $V_d = 0.1V$ 에서  $I_{on}$ 에 해당하는  $V_{th}$ 는  $0.15V$ 이다.

$$DIBL = \frac{\Delta V_{TH}}{\Delta V_D} \text{ 이므로 } DIBL = \frac{0.2 - 0.15}{1 - 0.1} \approx 0.056 \text{ 이다.}$$

더 정확한 값을 비교하기 위해서  $V_{TH}$ 의 값을 정확히 파악하거나,  $V_G$ 를  $-1V \sim 1V$ 까지 sweep 하여 비교한다면 좀 더 정확한 DIBL을 구할 수 있을 것이다.

### (4) Id vs Vd



$V_D$ 를 sweep하였을 때  $I_D$ 가 saturation 되지 않고 증가하는 것을 확인할 수 있었다. 이는 short channel effect인 channel length modulation이 발생했다고 생각하며 이 부분은 공부중에 있습니다.